

O₃ (ji.)

XI 996

(1965)

Clough Sh. st., Knei Zys. F. X.,
'AD 628059, Ajail. CR. STJ,
86 pp, 1965

ca 1964.

VO

1966

O₃

Эксперимент

исследование

тест

Примеч.

анализ

8 Д135. Кориолисово взаимодействие между основными колебаниями озона ν_1 и ν_3 . Clough Sheppard A., Kneizys Francis X. Coriolis interaction in the ν_1 and ν_3 fundamentals of ozone. «J. Chem. Phys.», 1966, 44, № 5, 1855—1861 (англ.)

Изучен ИК-спектр высокого разрешения озона ($^{16}\text{O}_3$) в области 1000—1150 см^{-1} . Проводится анализ вращательной структуры полос ν_1 ($1103,16 \text{ см}^{-1}$) и ν_3 ($1043,1 \text{ см}^{-1}$). Наблюдаемые аномалии в этой области спектра — отклонение характеристик полос ν_1 и ν_3 от соответствующих характеристик полос типа *B* и *A*-свидетельствует о сильном кориолисовом взаимодействии между колебаниями ν_1 и ν_3 . Для нахождения положения и интенсивности отдельных вращательных линий полос ν_1 и ν_3 проводится численная диагонализация оператора колебательно-вращательной энергии с учетом члена пер-

1601

Х/1

ф. 1966. 89

вого порядка $iY_{13}P_y$, соответствующего кориолисовому взаимодействию, и члена второго порядка — $X_{13}(P_xP_t + P_zP_x)$, соответствующего второй производной от элемента I_{xz} тензора инерции по норм. координатам, который дает существенный вклад в энергию из-за малости разности $v_1 - v_3 \approx 60 \text{ см}^{-1}$. Вычисленное распределение интенсивности находится в удовлетворительном соглашении с эксперим. данными. Используя центробежные постоянные, найденные для основного состояния, авторы получили следующие значения для вращательных постоянных уровней v_1 и v_3 и коэф. взаимодействия X_{13} и Y_{13} : $A_1 = 3,557$, $B_1 = 0,4427$, $C_1^* = 0,3926$; $A_3 = 3,500$, $B_3 = 0,4412$, $C_3^* = 0,3910$, $Y_{13} = 0,46_8$, $X_{13} = 0,009_8 \text{ ам}^{-1}$.

М. Алиев

1966

O₃

Phys. Ref.

Coriolis interaction in the ν_1 and ν_3 fundamentals of ozone. Shepard A. Clough and Francis X. Kneizys (Air Force Cambridge Res. Labs., Bedford, Mass.). *J. Chem. Phys.* 44(5), 1855-61 (1966)(Eng). The ν_1 and ν_3 vibration rotation spectrum of $^{16}\text{O}_3$ in the $9.0-\mu$ region has been analyzed. The 2 vibrational states are coupled through a Coriolis term, $iY_{13}P_y$, and a 2nd-order distortion term, $-X_{13}(P_xP_z + P_zP_x)$, in the Hamiltonian. The interaction has been treated by numerically diagonalizing the secular determinant for the 2 states with the coupling included. The effect of the interaction on the intensities has been considered

and absorption contours calcd. in satisfactory agreement with expt. With the distortion parameters fixed to the ground-state values the following consts. have been obtained: $\nu_1 = 1103.15_s$, $A_1 = 3.556_s$, $B_1 = 0.4427_s$, $C_1^* = 0.3926_s$, $\nu_3 = 1042.09_s$, $A_3 = 3.500_s$, $B_3 = 0.4412_s$, $C_3^* = 0.3909_s$, $Y_{13} = -0.46_s$, and $X_{13} = -0.009_s \text{ cm.}^{-1}$. The value of the dipole-moment ratio, $(\partial M_z / \partial Q_3|_0 Q_3) / (\partial M_z / \partial Q_1|_0 Q_1)$, is 10.0 ± 1.5 . RCJQ

C. A. 1966. 64. 8

10591h-10592a

1601

X1-

16

3

B9-XI-1624

1968

23775h The upper electronic state of the $^{16}\text{O}_3$ molecule. Bryon T. Darling and Chung-Wang Lui (Univ. Laval, Quebec, Can.). *J. Mol. Spectrosc.* 21(2), 146-55(1966)(Eng). The configuration of the O_3 mol. in the excited electronic state assocd. with the Huggins' bands is predicted: the transition is $^1\text{A}_1 \rightarrow ^1\text{B}_2$. For the electronic ground state the known form of the kinetic energy operator together with the known mol. configuration alone produce a convergence of the levels of the ν_3 vibration, which predicts a value of the 3rd harmonic $3\nu_3$ in very good agreement with the observed value of Wilson and Badger. The calen. is given in detail.

RCKP

C.A. 1964-66-6

¹⁶ O₃

Б9 - XI-1624

1986

20 Б108. Верхнее электронное состояние молекулы
¹⁶O₃. Darling Bygon T., Lui Chung-Wang. The
upper electronic state of the ¹⁶O₃ molecule. «J. Molec.
Spectrosc.», 1966, 21, № 2, 146—155 (англ.)

Энергия качательных колебаний молекулы озона в ее
основном электронном состоянии определяется формулой
 $E_n = 524 + 1054,137 n - 11,234 n^2$. Последний коэф-
фициент почти совпадает с коэффициентом в формуле
для частот ультрафиолетового спектра озона, получен-
ной ранее (Яковleva A., Кондратьев В. Physik. Z. So-
wjetunion, 1936, 9, 106). Отсюда следует, что расстоя-
ние между последовательными уровнями в возбужден-

ции. час.

До

X 1987 . 20

ном состоянии 1B_2 может быть найдено по формуле
 $\Delta v = 620 - 32 n_3' \text{ см}^{-1}$. Частоты колебаний в этом со-
стоянии равны: $v_1' = 600$, $v_2' = 347$ и $v_3' = 620 \text{ см}^{-1}$. По
этим частотам и с помощью формулы Бэджера вычис-
лена длина связи 1,477 Å и валентный угол $92^\circ 59'$.
Силовая постоянная колебания v_3' равна $22\,872 \text{ см}^{-1}$.
Энергия диссоциации 0,55 эв. Из свойств симметрии волн-
овых функций возбужденного состояния выведены пра-
вила отбора для электронно-колебательных матричных
элементов дипольного момента.

М. А. Ковнер

160₃

89-XI-1624

1966

✓ 9 Д56. Верхнее электронное состояние молекулы
¹⁶O₃. Darling Bygon T., Lui Chung-Wang. The
upper electronic state of the ¹⁶O₃ molecule. «J. Molec.
Spectrosc.», 1966, 21, № 2, 146—155 (англ.)



Энергия качательных колебаний молекулы озона в ее основном электронном состоянии определяется ф-лой $E_n = 524 + 1054,137n - 11,234n^2$. Последний коэф. почти совпадает с коэф. в ф-ле для частот ультрафиолетового спектра озона, полученной Яковлевой и Кондратьевым (Phys. Z., Sowjetunion, 1936, 9, 106). Эта ф-ла должна быть отнесена именно к качательным колебаниям. Из нее следует, что расстояние между последовательными уровнями в возбужденном состоянии ¹B₂ может быть найдено по ф-ле $\Delta\nu = 620 - 32n_3'$ см⁻¹. Частоты колебаний в

Ф.1984.92

9
1383+9036
41

в этом состоянии равны: $v_1' = 600$, $v_2' = 347$ и $v_3' = 620 \text{ см}^{-1}$.
По этим частотам и с помощью ф-лы Беджера вычисле-
ны длина связи 1477 Å и валентный угол 92°59'. Сило-
вая постоянная колебания v_3' равна 22872 см⁻¹. Из
свойств симметрии волн. ф-ций возбужденного состоя-
ния выведены правила отбора для электронно-колеба-
тельных матричных элементов дипольного момента.
Энергия диссоциации этого состояния равна 0,55 эв.

М. А. Ковнер

1966

7

ХI - 1407

7

03
 11 Б200. Вращательные спектры поглощения некоторых молекул типа асимметричного волчка. Часть I. Озон и двуокись серы. Gebbie H. A., Stone N. W. B., Torrington G., Goga E. K., Clough S. A., Kneizys F. X. Rotational absorption of some asymmetric rotor molecules. Part I. Ozone and sulfur dioxide. «J. Molec. Spectrosc.», 1966, 19, № 1, 7—24 (англ.)

Исследованы вращательные спектры поглощения озона и двуокиси серы в дальней ИК-области с помощью интерферометра с разрешением $0,25$ и $0,12 \text{ см}^{-1}$. При помощи значений молек. параметров, полученных из МКВ-спектров O_3 и SO_2 вычислены контуры линий и сопоставлены с наблюдаемыми их контурами. Показано, что контуры линий O_3 в области $15—92 \text{ см}^{-1}$ и SO_2 в области до 76 см^{-1} , вычисленные с учетом центробежных поправок 2-го порядка, удовлетворительно согласуются с наблюдаемыми. Значительные отклонения вычисленных

Х. 1964. II

и наблюдаемых контуров для SO_2 в области выше 76 см^{-1} приписаны центробежным поправкам 4-го порядка. Комбинируя МКВ-данные с данными ИК-спектров вычислены значения вращательных и центробежных постоянных SO_2 . Получено приближенное выражение для вращательной энергии SO_2 с учетом некоторых поправок 4-го порядка в предельном случае симм. волчка (для значений $K-J$), аналогичное соответствующим выражениям для H_2O и двухатомных молекул. Эта аналогия рассмотрена в рамках приближенной полуклассич. теории центробежного растяжения.

М. Алиев

O₃

SO₂

вращ.

спектр

ротор

12 Д241. Вращательный спектр некоторых молекул
типа асимметричного волчка. Ч. I. Озон и двуокись серы.
Gebbie H. A., Stone N. W. B., Topping G., Go-
та E. K., Clough S. A., Kneizys F. X. Rotational
absorption of some asymmetric rotor molecules. Part I.
Ozone and sulfur dioxide. «J. Molec. Spectrosc.», 1966,
19, № 1, 7—24 (англ.)

Теоретически и экспериментально исследованы враща-
тельные спектры озыва (I) и двуокиси серы (II). Спект-
ры получены с помощью интерферометра с разрешением
 $0,25$ и $0,12 \text{ см}^{-1}$. Для I эксперимент и расчеты хорошо
согласуются с данными, полученными в микроволн. обла-
сти. В случае II между расчетом и экспериментом на-
блюдается расхождение при частотах выше 76 см^{-1} .

1966

XI - 1707

XI

ф. 1966.122

Согласие достигается при введении коррекции, учитывающей центробежные искажения высоких порядков. Уточнены значения молекулярных вращательных констант путем учета центробежных возмущений шестого и восьмого порядка. Развита полуклассич. теория центробежных возмущений высокого порядка для симметричных трехатомных молекул, которая позволила интерпретировать некоторые эмпирич. результаты. Библ. 19 назе-

И. Рудявская

1966

 O_3 SO_2

Check up

+1usg

Rotational absorption of some asymmetric rotor molecules.
I. Ozone and sulfur dioxide. H. A. Gebbie, N. W. B. Stone,
G. Topping (Basic Phys. Div., Natl. Phys. Lab., Teddington,
Engl.), E. K. Gora, S. A. Clough, and F. X. Kneizys.
J. Mol. Spectry. 19(1), 7-24(1966)(Eng). Far-ir spectra of O_3
and SO_2 have been obtained interferometrically with a resolution
of 0.25 and 0.12 cm^{-1} , resp. In the case of O_3 , agreement with
predictions based on previously published microwave data has
been confirmed. For SO_2 , the far-ir data indicate the need of
taking higher-order centrifugal distortion corrections into con-
sideration. Joint use of the far-ir and of published microwave
data has made it possible to det. an improved set of mol. rota-
tion consts. including 4 6th- and 1 8th-order centrifugal distor-
tion parameters. A semiclassical theory of higher-order cen-
trifugal distortion effects is developed which permits interpreta-
tion of some of the empirical results obtained in terms of the usual
harmonic valence force consts. Agreement between observed
and calcd. contours is improved further by inclusion of plausible
line-width variations in the calcns. High internal consistency is
obtained.

RCKP

X1 - 1707

(8)

C.A. 1966.64. 6

7534h - 7535a

16 О₃

1966

20 Б107. Проникновение через барьер в молекуле
¹⁶O₃. Часть II. Lui Chung — Wang, Darling
Вугоп Т. Barrier penetration in the ¹⁶O₃ molecule.
Part II. «J. Molec. Spectrosc.», 1966, 21, № 2, 130—145
(англ.)

ХI - 1277

Рассмотрены туннельные эффекты в качательных колебаниях молекул озона (координата Ψ). Уравнение Шредингера решено с потенциальной функцией $V = k\Psi^2/2$ и для интервала $0 \leq \Psi \leq \pi/3$. Для решения применен метод Венцеля — Крамерса — Бриллюэна, и волновые функции выражены через функции Бесселя. Для значений квантового числа 0—15 найдены уровни энергии и точки поворота. Эти величины вычислены также в приближении Ланжера. Высота барьера равна 1,04 эв. Расщепление уровней энергии мало в сравнении со значениями самих энергий. Сравнение обоих приближенных методов позволило установить границы их применимости.

М. А. Ковнер

Х: 1907. 20

1603

1966

9 Д55. Проникновение через барьер в молекуле $^{16}\text{O}_3$.
Ч. II. Lui Chung-Wang, Darling Вугон Т. Ваг-
гериер penetration in the $^{16}\text{O}_3$ molecule. Part II. «J. Molec.
Spectrosc.», 1966, 21, № 2, 130—145 (англ.)

Молекула озона характеризуется тремя эквив. положениями равновесия. Колебания относительно этих положений описываются тремя координатами u , z , χ , соответствующими валентному, деформационному и качательному колебаниям. В этих переменных составлен гамильтониан. Ур-ние Шрёдингера решено при постоянных u , z с потенц. ф-цией $V=k\chi^2/2$ и для интервала $0 < \chi < \pi/3$. Для решения применен метод ВКБ, и волн. ф-ции выражены через ф-ции Бесселя. Для значений квантового числа 0—15 найдены уровни энергии и точки поворота. Эти величины вычислены также в приближении Ланжера. Высота барьера равна 1,04 эв. Расщепление уровней энергий очень мало в сравнении со значениями самих энергий. Сравнение обоих приближенных методов позволило установить границы их применимости.

II см. РЖФиз, 1964, 4Д76. М. А. Ковнер

XI-1277

9.1967.98

O₃

1986

6708h Barrier penetration in the ¹⁶O₃ molecule. Chung-
Wang Lui and Byron T. Darling (Univ. Laval, Quebec, Can.).
J. Mol. Spectrosc. 21(2), 130-45(1966)(Eng). The positions
and splittings of the energy levels are calcd. for the χ mode of
vibration of the ¹⁶O₃ mol. under an assumed potential energy.
For small values of χ this mode is the usual rocking mode of sym.
triat. mols. With increasing χ the mol. passes through a poten-
tial barrier and at $\chi = 2\pi/3$ returns to the original configuration,
but with a cyclic permutation of the O atoms. RCKP

1277

X/-

C.A. 1987: 66-2

O₃

(XI-1278)

1966

70462p The infrared absorption bands of ozone. Dayid Jenkins McCaa (Ohio State Univ., Columbus). *Univ. Microfilms* (Ann Arbor, Mich.), Order No. 66-10,027, 150 pp.; *Diss. Abstr. B* 27(5), 1575(1966)(Eng).

SNDC

C.A. 1967 p. 66-16

O_3

1966

Peple S.A., Segal S.A.

(u. II)

18. aux.
pacret

J. Chem. Phys., 1966, 44,
N 9, 3289-3296.

• $\text{Ces } BH_3; \underline{\text{II}}$

O₃

XI-2219

1966

12 Д 197. Молекулярная фотоэлектронная спектроскопия. Ч. V. Озон. Radwan T. N., Turnet D. W.
Molecular photoelectron spectroscopy. Part V. Ozone.
«J. Chem. Soc.», 1966, A, № 1, 85—86 (англ.)

(7)
Получен энергетич. спектр фотоэлектронов в O₃, полученным резонансной линией He (585 Å). Приведены значения 5 ионизационных потенциалов, приписываемых озону ($12,3 \pm 0,1$; $12,52 \pm 0,05$; $13,52 \pm 0,05$; $16,4—17,4$; $19,24 \pm 0,1$ эв). Результаты сравнены с данными для NO₂. Ч. IV см. A-Jaboury M. I., May D. P., Turnet D. W., «J. Chem. Soc.», 1965, 6350. В. Ревич

ф. 1966. 12 №

1966

X1-2219

03(5) Molecular photoelectron spectroscopy. V. Ozone. T. N. Radwan and D. W. Turner (Imp. Coll., London). *J. Chem. Soc., Inorg., Phys., Theoret.* 1966(1), 85-6(Eng); cf. CA 64, 2754a. The photoelectron energy spectrum of ozone, measured by using He resonance line photons, has been used to derive 5 ionization potentials smaller than 21.21 ev. Comparison is made with the related results for NO₂.

RCGF

C.A. 1966. 64.5
5934 f

1966

1 Д521. Разложение озона атомами $O(^1D)$. Snel-
 ling David R., Baiamonte Vernon D., Bair
 Edward J. Decomposition of ozone by $O(^1D)$. «J. Chem.
 Phys.», 1966, 44, № 11, 4137—4144 (англ.)

С помощью метода импульсного фотолиза (длительность вспышки 12 μ сек.) исследовано цепное фоторазложение O_3 , разбавленного He, Ar или N₂. Образующиеся в первичном акте: $O_3 + h\nu \rightarrow O_2 + O(^1D)$ (1) атомы $O(^1D)$ быстро вступают во вторичную реакцию $O(^1D) + O_3 \rightarrow 2O_2$ (2), константа скорости которой ($k_{2a} \geq 2,3 \cdot 10^9$ л/моль·сек) не зависит от температуры в интервале 205—298° К. Последующие процессы разложения O_3 много медленнее, характер зависимости их скорости от температуры, давления инертного газа и состава смесей указывает на

и. ф.

ф · 1967 · №

возможность участия в разложении O_3 колебательно-возбужденных молекул O_2 , образуемых при реакции (2) и дезактивируемых при столкновениях с частицами разбавляющих газов. В N_2 квантовый выход (Φ) разложения O_3 к концу фотолизующей вспышки в ~ 2 раза ниже, чем в He или Ar , что объясняется быстрой дезактивацией атомов $O(^1D)$ молекулами N_2 . Зависимости Φ от давления в N_2 , Ar и He сходны. Обсуждается возможный механизм цепного разложения O_3 с участием колебательно-возбужденных молекул.

В. Скурат

Khanna V.M., Besenbreych G.,
Margrave J.L.

Hob.

J. Chem. Phys., 1967, 46, 2310

62.

O_3 (gas)

et.n.

O₃

(Cellepp)
W.K.

XI-1279

1967

109632n Infrared absorption bands of ozone. David J. McCaa and John H. Shaw (Ohio State Univ. Res. Found., Columbus). U.S. Clearinghouse Fed. Sci. Tech. Inform., AD 653195. Avail. CFSTI, 105 pp.(1967)(Eng). Fourteen bands of O₃ at 500-3300 cm.⁻¹ were identified and values of the vibrational-anharmonic consts. detd. The integrated band absorptances of many of these bands were measured from spectra of a 32-in. path of O₃-O₂ mixts. contg. up to 30 atm. cm. O₃ near 25°. The dependences of the band absorptances on O₃ concn. and total pressure are described and the strengths of 9 of the bands are given. The statistical band model describes the behavior of the bands reasonably well for the ranges of exptl. variables used. From U.S. Govt. Res. Develop. Rep. 67(15), 13(1967). TCVL

C. A. 1968. 68. 24

№67

XI - 1379.

63

6 Д121. Геометрия озона и азидиона в основных и некоторых возбужденных состояниях. Peuerimhoff Sigrid D., Buenker Robert J. Geometry of ozone and azide ion in ground and certain excited states. «J. Chem. Phys.», 1967, 47, № 6, 1953—1966 (англ.)

Неэмпирич. методом МО с самосогласованием с использованием базисных наборов из фиксированных групп гауссовских ф-ций рассчитаны потенц. кривые основных и некоторых возбужденных состояний с заполненными оболочками озона и азидиона для 8 значений углов O—O—O и 6 значений углов N—N—N в интервале 60°—180°. Для эксперим. значений валентных углов проведе-

09.1968. 69

☒

ны также расчеты с расширенными базисными наборами. Получены удовлетворительные значения равновесных углов в рассматриваемых системах. Результаты интерпретированы с помощью схем Малликена и Уолша, рассматривающих связь изменений орбитальных энергий с геометрией молекул. Используемая процедура позволяет детально исследовать потенц. кривые вблизи равновесия.

В. Л. Лебедев

O₃ XI-1379

1967

- 103021v Geometry of ozone and azide ion in ground and certain excited states. Sigrid D. Peyerimhoff and Robert J. Buenker (Justus Liebig-Univ., Giessen/Lahn, Ger.). *J. Chem. Phys.* 47(6), 1953-66(1967)(Eng). A series of ab initio S.C.F. M.O. calcns. for ground and various closed-shell excited states of O₃ and N₃⁻ have been carried out with a view toward investigating relationships between the geometries of these states. The calcns. give quant. verification to many of the assumptions made in previous empirical theories dealing with this subject and enlarge the scope of former quant. schemes to include more quant. predictions relative to steepness of potential surfaces of mol. states. Thus, it is shown that the calcd. S.C.F. total energy surfaces of both O₃ and N₃⁻ can be compared quite concisely in terms of a small no. of differentiating orbital-energy curves.

RCJQ

+1

C.A. 1967. 07.22



" 1967

O₃ (ii, complexe)

XI 1447

O₄, (v)

Григорьевская Т.В., Некрасов и др.

Котуйская Ю.Н.

М. физ. химии, 1964, 41, № 7, 222 - 232

Рассмотрены различные классы
окислов и их изопрапроцессы синтеза
полимеров.

6 10

Пр. хим., 1962, 195155

1968

O₃

XI 23

111583m Calculated fundamental vibrational frequencies of isotopically substituted ozone. Bain, Ralph L. (Southern Illinois Univ., Edwardsville, Ill.). *Trans. Ill. State Acad. Sci.* 1968, 61(2), 215-16 (Eng). Since O consists of 3 stable isotopes, ¹⁶O, ¹⁷O, and ¹⁸O, 18 different species of O₃ may be formed. By using structural parameters and potential consts. of O₃, the fundamental vibrational frequencies of these 18 species were calcd. The calcd. frequencies agree well with those reported by Pierce in 1956, while by using the sum rule as a check, agreement is ~0.2%.
V. C. Hughes

V. C. Hughes

C.A. 1968. 69. 26

1968

O₃

Davies D. W.

Chem. Phys. Lett., v2(3),
173.

(9)

Ionization potentials
by the complete neglect
of differential overlap.

(Coll. BF₃) III

O₃

5 Д275. Коэффициенты поглощения озона в видимой и УФ-областих спектра. Griggs M. Absorption coefficients of ozone in the ultraviolet and visible regions. «J. Chem. Phys.», 1968, 49, № 2, 857—859 (англ.)

1968

В связи с различием литературных данных по значениям коэф. поглощения O₃ в видимой и УФ-областих выполнено исследование спектра поглощения озона в области 2000—9000 Å. Описана методика получения абсолютно чистого (100%) O₃ с помощью электрич. разряда напряжением 12 кв внутри дьюаровского сосуда, помещенного в жидкий азот, через который продувается кислород. Приведены значения коэф. поглощения O₃ при т-ре 30° С для систем полос Хартлея (2000—3000 Å), Хаггинса (3000—3600 Å) и Чеппуиса (4500—8500 Å). Показано, что в УФ-области справедливы результаты Иини и Танака (Inni E. C. V., Tanaka Y., «J. Opt. Soc. Am.», 1953, 43, 870), в видимой области наиболее близки к истинным данные Вигру (Vigroux E., «Ann. Phys.», 1953, 8, 709).

С. Ф. Б.

Ф. 1969.

52



O₃

Hayes S. F., Pfeiffer S. V. | 1968
J. Amer. Chem. Soc., 90(18),

J 4773.

Possible existence of
double minima in po-
tential energy surfaces
of AB₂- type molecules.
(see. NO₂⁺) III

1968

Х1 - 325

0
3

2 Д384. ИК-спектр озона. МсСаа D. J., Shaw J. H.
 The infrared spectrum of ozone. «J. Molec. Spectrosc.»,
 1968, 25, № 3, 374—397 (англ.)

Исследованы и идентифицированы 14 полос озона в области 500—3300 см^{-1} и определены постоянные ангармоничности. Измерены интегр. интенсивности ряда полос в спектре озоно-кислородной смеси в слое 32 м с конц-ней озона 30 атм·см при 25° С. Изучены концентрационная зависимость интенсивности и влияние полного давления. Приведены интенсивности девяти полос поглощения. Показано, что статистич. модель достаточно хорошо описывает наблюдаемые явления. Библ. 18.

09. 1969. 29

O₃

X1-325

1968

91372r The infrared spectrum of ozone. D. J. McCaa and
J. H. Shaw (Ohio State Univ., Columbus). *J. Mol. Spectrosc.*
25(3), 374-97(1968)(Eng). Fourteen bands of O₃ between 500
and 3300 cm.⁻¹ were identified and values of the vibrational an-
harmonic consts. defd. The integrated band absorptances of
many of these bands were measured from spectra of a 32-m.
path of O₃-O₂ mixts. contg. up to 30 atm. cm. O₃ near 25°. The
dependences of the band absorptances on O₃ concn. and total
pressure are described and the strengths of 9 of the bands are
given. The statistical band model describes the behavior of the
bands reasonably well for the ranges of exptl. variables used. 18
references.

RCKP

C.A. 1968-68-20

O₃

XI-325

1968

22 Б273. Инфракрасный спектр озона. McCaa D. J., Shaw J. H. The infrared spectrum of ozone. «J. Molec. Spectrosc.», 1968, 25, № 3, 374—397 (англ.)

Измерен и отнесен ИК-спектр озона в области 500—3300 см⁻¹. Определены константы ангармоничности колебаний. Вычислены интегральные интенсивности для большинства полос (длина оптич. пути 32 м, т-ра 25°, 30 атм). Получены зависимости поглощения для ряда полос от концентрации и давления O₃. Показано, что статистич. модель полосы поглощения удовлетворительно описывает наблюдаемые эффекты.

Резюме

X. 1968. 22

O₃

XI - 3028

1968

17 Б50. Расчеты основных состояний молекул O₃, NO₂⁻, NOF и OF₂ методом МО ЛКАО с самосогласованием с минимальным базисным набором. Petroni, Carlo, Scrocco, Eolo, Tomasi J'acopo. Minimal — basis — set LCAO—SCF—MO calculations for the ground state of O₃, NO₂⁻, NOF, and OF₂ molecules. «J. Chem. Phys.», 1968, 48, № 1, 407—411 (англ.)

Методом Рутана с минимальным базисом из АО слейтеровского типа с использованием слейтеровских и оптимизированных по энергиям изолированных атомов (метод 1) величины орбитальных экспонент рассчитаны волновые функции основных состояний, полные, кинетич. и орбитальные энергии, дипольные моменты; приведены карты полных π -электронных плотностей (метод 1) и проведен анализ заселенностей по Малликену для нелинейных трехатомных молекул O₃, NO₂⁻, NOF и OF₂.

В. Л. Лебедев

д. 1968. 17



O₃

XI - 471

1968

~~5777c~~ Raman spectrum of ozone. Selig, H.; Claassen, H. H. (Hebrew Univ., Jerusalem, Israel). *Israel J. Chem.* 1968, 6(4), 499-500 (Eng). The laser excited Raman spectra measured on O₃ (gas phase, 2 and 4 atm.), exhibited 2 highly polarized intense and sharp bands ν_1 and ν_2 at 1103.3 and 702.1 cm.⁻¹. The 3rd fundamental at 1042 cm.⁻¹ (known from the intense ir band) is barely detectable in background noise. The stretching vibrations of O₃ very nearly obey the selection rule for a linear mol.

FBJN

C.A. 1969. 70.4

XI - 513

1968

10 Б267. Переходы между колебательными состояниями в микроволновом спектре озона. Танака Тадекико, Могино Йонэzo. Intervibrational-state transitions in the microwave spectrum of ozone. «J. Chem. Phys.», 1968, 49, № 6, 2877—2878 (англ.)

При исследовании вращательного спектра молекулы озона в области, близко расположенной к возбужденным колебательным состояниям $v_1=1$ и $v_3=1$, обнаружены 2 слабые линии при $v_1=31464,16$ и $v_2=11990,37$ Мгц. Разность частот этих линий равна разности частот переходов $18_{2,16} \leftarrow 17_{3,15} \leftarrow (v_3=29143,30 \text{ Мгц})$ и $18_{2,16} \leftarrow 19_{1,1} (v_4=9669,57 \text{ Мгц})$ в состоянии $v_1=1$. Отнесение вновь найденных линий выполнено методом двойного резонанса с непрерывной накачкой мощным клистроном на частотах v_1 , v_2 и v_4 .

М. Р. Алиев

10

Х. 1969.

O₃

XI-513

1968

15757w Intervibrational-state transitions in the microwave spectrum of ozone. Tanaka, Takehiko; Morino, Yonezo (Univ. Tokyo, Tokyo, Japan). *J. Chem. Phys.* 1968, 49 (6), 2877-8 (Eng). In the course of a recent study on the rotational spectra of ozone in the Coriolis perturbed vibrational states, the $v_1 = 1$ and $v_3 = 1$ states, 2 intervibrational-state transitions at 31,464.16 and 11,990.37 MHz. were found. The frequency difference between these lines is exactly equal to that between the $18_{2,18} \leftarrow 17_{3,15}$ (29,143.30 MHz.) and $18_{2,16} \leftarrow 19_{1,19}$ (9669.57 MHz.) transitions in the $v_1 = 1$ state. Their

(checkup)

C.A. 1969. 70. 4

intensities were 10-20% of those of the $18_{2,16} \leftarrow 17_{2,15}$ and $18_{2,16} \leftarrow 19_{1,19}$ transitions, resp. Double resonance expts. were used to exam. their assignment. While the frequency of the pumping radiation was fixed at various values near the resonance frequency of the pumping line v_p , the signal was recorded by using a conventional Stark modulation technique. When the pumping frequency was tuned exactly to v_p , the signal decreased in intensity and recovered to full intensity by detuning only 2 MHz. This confirmed the assignment of the 2 transitions $18_{2,16} \leftarrow 17_{2,15}$ and $18_{2,16} \leftarrow 19_{1,19}$ with a common level. Intensity decreases in other cases were observed; the 31,464.16 MHz. transition has a common level with $18_{2,16} \leftarrow 17_{2,15}$ transition, and the 11,990.37 MHz., with $18_{2,16} \leftarrow 19_{1,19}$. The simplest scheme of energy levels consistent with the observed results is one in which a fourth level with $J = 18$ exists 2321 MHz. above the $18_{2,16}$ level. The 2 lines observed are explained as being transitions to this level from the $17_{2,15}$ and $19_{1,19}$ levels in the $v_1 = 1$ state. Detailed calcns. were made by using the rotational consts., Coriolis coupling const., etc.

Raylene Adams Coad

O₃

XI-513

1968

и.в.спектр

БД396. Переходы между колебательными уровнями в микроволновом спектре озона. Tanaka Takehiko, Mogino Yonezo, Intervibrational-state transitions in the microwave spectrum of ozone. «J. Chem. Phys.», 1968, 49, № 6, 2877-2878 (англ.)

Исследованы вращательные спектры озона в колебательных состояниях $v_1=1$ и $v_3=1$. Обнаруженные переходы при 31464,16 и 11990,37 Мгц отождествлены и уточнены с помощью техники метода двойного резонанса.

90 . 1969

59

XI-26

1969

$O_3(\text{нс})$
(2)

12 Д322. ИК-спектр поглощения жидкого озона.
Vagée Alain, Jouve Pierre. Spectre d'absorption
infrarouge de l'ozone liquide. «C. r. Acad. sci.», 1969, 268,
№ 26, B1723—B1726 (франц.)

Исследован спектр озона, растворенного в жидким аргоне, в области 400 — 4700 см^{-1} при т-ре 98° К . Озон получен в тлеющем разряде кислорода. Толщина слоя составляла 4 см , конц-ия варьировалась в зависимости от интенсивности полос. Наблюдены и интерпретированы 21 полоса. Основные частоты расположены при $702,5$, 1033 и $1105,5 \text{ см}^{-1}$. Получены также спектры газообразного озона в слоях от 10 см до 25 м . Вычислены колебательные постоянные молекулы O_3 . М. В. Тонков

М. В.

ср. 1969, 128

1969

O₃ (unregd.)

X1-26

75763a) Infrared absorption spectrum of liquid ozone.
 Barbe, Alain; Jouve, Pierre (Lab. Phys. Mol., Fac. Sci., Reims,
 Fr.). *C. R. Acad. Sci., Ser. B* 1969, 268(26), 1723-6 (Fr).
 The ir spectrum of liq. O₃ in liq. Ar at 98°K. has been detd.
 Bands (21) in the range 400-4700 cm.⁻¹ have been observed and
 identified. The anharmonicity coeffs. have been detd. with the
 normal frequencies, allowing recalcn. of all the observed bands.
 The exptl. and calcd. values are in excellent agreement. DWJF

W =

creepup

C.A.

1969. 11. 16

O₃

XI - 26

1969

23 Б258. Инфракрасный спектр поглощения жидкого озона. Barbe Alain, Jouve Pierre. Spectre d'absorption infrarouge de l'ozone liquide. «С. г. Acad. sci.», 1969, 268, № 26, B1723—B1726 (франц.)

Исследован ИК-спектр поглощения жидк. озона (I) в жидк. аргоне при 98° в области 400—4700 см⁻¹. В этой же области частот исследован ИК-спектр поглощения газ. I. Рассмотрено отнесение кол. частот I. Определены значения гармонич. частот кол. $\omega_1=1135$, $\omega_2=721,5$ и $\omega_3=1078,5$ см⁻¹ и констант ангармоничности $x_{11}=-4$, $x_2=-1,75$, $x_{33}=-10,80$, $x_{12}=-13$, $x_{13}=-30$, $x_{23}=-18$, хорошо воспроизводящие эксперим. частоты I.

А. Александров

X. 1969. 23

Dubois I.,

Hib.

J. Molecul. Struct., 1969,
3, 269

63

O₃(205)

M.W.

O₃ (Tb.)

XI - 301

1969

01935t Infrared absorption spectrum of solid ozone at 10°K.
Le Brumant, Jacques; Barbe, Alain; Jouye, Pierre (Lab. Phys.
Exp. Mol., Fac. Sci., Paris, Fr.). *C. R. Acad. Sci., Paris,*
Ser. A,B 1969, 268B(7), 549-51 (Fr). The ir absorption spec-
trum of O₃ at 10°K. has been redetd. and band positions given
to $\pm 0.5 \text{ cm.}^{-1}$. O₃ was obtained by elec. discharge through
99.999% pure O, and the mixt. was condensed on KBr or AgCl
at 10°K. Bands at 1023 and 1003 cm.⁻¹ have been attributed
to mols. contg. 1 atom of ¹⁸O.

K. Barnes

C.A. 1969.

70-20

XI-301

1969

O₃ (v_b)

8 Д437. ИК-спектр поглощения твердого озона при 10 К. Le Blumant Jacques, Batte Alain, Jouy e Pierre. Spectre d'absorption infrarouge de l'ozone solide à 10° K. «С. г. Acad. sci.», 1969, 268, № 7, B549—B551 (франц.)

Получен ИК-спектр поглощения (3100—600 см⁻¹) твердого озона в кислородной матрице при 10° К. В качестве подложки использовались пластины из КВг или AgCl.

Изучены движение молекул озона в матрице и собственный спектр поглощения изотопных молекул, содержащих изотоп O¹⁸. Приведены частоты полос и дано их отнесение. Частоты определены с точностью ±0,5 см⁻¹.

Е. Рыльцев.

09.1969. 82

D₃

1969

16771D Photochemistry of ozone. Mitra, A. P. (Nat. Phys. Lab., New Delhi, India). *Progr. Astronaut. Aeronaut.* 1969, 22, 263-306 (Eng). Photochem. calcns. on mesospheric O₃ are reviewed for O only, O-H, and O-H-N atms. Effects of vertical eddy transport included in recent works by Hestvedt (1968) and Shimazaki, *et al.* (1969) are discussed. The close relation which exists between the ratio $n(O)/n(O_3)$ and neg. ion and electron concns. brings in a new dimension in O₃ photochemistry work. A remarkable similarity has been obsd. by Doherty between LF phase variations during a solar eclipse and the computed variations in O₃ concns. Similarities also exist during sunrise and sunset. It thus seems possible to obtain synoptic information on mesospheric O₃ from ionospheric parameters.

RCTT

C.A. 1970

72.22

03

XI- 364.

1969

З Б163. Определение внутримолекулярной потенциальной функции многоатомных молекул из постоянных колебательно-вращательного взаимодействия. Могіо Уонеzo. Intramolecular potential function of polyatomic molecules by vibrationrotation interactions. «Rige and Appl. Chem.», 1969, 18, № 3, 323—338 (англ.)

Рассмотрен метод определения потенциальной функции простых многоатомных молекул в квартичном приближении из эксперим. данных по частотам колебаний ω_i , постоянным ангармоничности X_{ij} , постоянным $\alpha_i^{A,B,C}$, характеризующим зависимость вращательных постоянных от колебательного состояния, постоянным l -удвоения q_i и дефекту инерции Δ . Приведены ф-лы, выражающие α - и X -постоянныи нелинейной молекулы



+ 6

X - 1970 - 3



XY_2 через коэф. ангармоничности в норм. координатах K_{ijk} и K_{ijkl} и численные значения коэф. K_{ijk} и K_{ijkl} для молекул O_3 , OF_2 , SO_2 и SeO_2 , полученные из α - и X-постоянных. Приведены также численные значения коэф. ангармоничности f_{ijk} и f_{ijkl} молекул O_3 , OF_2 , SO_2 , SeO_2 , OCS и NH_3 во внутренних колебательных координатах и отмечено, что потенциальная функция рассматриваемых молекул лучше всего сходится в этих координатах, а гл. вклад в потенциал дают члены с f_{iii} и f_{iiti} , соотв-щие растяжению валентных связей.

М. Р. Алиев

O₃

XI - 364

1969

136595s Intramolecular potential function of polyatomic molecules by vibration-rotation interactions. Morino, Yonezo (Dep. Chem., Univ. Tokyo, Tokyo, Japan). *Pure Appl. Chem.* 1969, 18(3), 323-38 (Eng). Doubling consts. of the *l* type in various higher excited states of the triat. mols. O₃, OF₂, SO₂, and SeO₂ were measured. For comparison, the vibrational changes were calcd. by using the potential function based on the valence force model and detd. by using least squares calcns. The values cor. for the 4th order perturbation agree with expt. BVJN

bifluorine

C.A. 1980. 72. 26

XI - 1525

1969

O₃ (acc. noo.)

Pillai M.G.K., Pillai P.P.,
J. Shivaji Univ., 1969 - 1970,
(Pub. 1970), 2-3, N4, 6, 41-5



10

0
3

40423d Ozone ultraviolet photolysis. I. Effect of molecular oxygen. Biedenkapp, Dieter; Bair, Edward J. (Chem. Dep., Indiana Univ., Bloomington, Indiana). *J. Chem. Phys.* 1970, 52(12), 6119-25 (Eng). To clarify the role of mol. O in the photolytic decompr. of ozone, measurements of mixts. of ozone with He, N, or O were analyzed by the intermediate quantum yield method which seps. effects due to fast and slow reactions by measuring the fast components shortly after flash photolysis. Anal. of the results gives the following rate consts. (in 1./mole-sec): $O_2 + O(^1D) \rightarrow O_2(^1\Sigma_g^+) + O(^3P)$, $k_{4b} = 1.5 \pm 0.8 \times 10^{11}$; $O_2(^1\Sigma_g^+) + O_3 \rightarrow 2O_2 + O(^3P)$, $k_{3b} = 4.0 \pm 0.5 \times 10^9$. The efficiency of the reaction for forming $O_2(^1\Sigma_g^+)$ lies in the range $1.0 \geq \alpha > 0.6$. As a consequence of the high value of (k_{4b}) , which was previously neglected, rate consts. reported previously should be revised as follows: $O(^1D) + O_3 \rightarrow 2O_2$, $k_{2a} = 4 \pm 2 \times 10^{10}$; $O(^1D) + N_2 \rightarrow O(^3P) + N_2$, $k_{4a} = 2 \pm 1 \times 10^{10}$; $O(^1D) + Xe \rightarrow O(^3P) + Xe$, $k_{4c} = 5 \pm 2 \times 10^{10}$. The quoted error limits are those which represent the fit of the data to the assumed mechanism with appropriate allowances for uncertainties due to minority processes.

RCJQ

C.I. 1970. Pg. 8

1970

O₃

24 Б1091. Фотолиз озона ультрафиолетовым светом.
 I. Влияние молекулярного кислорода. Biedenkapp D.,
 Bair Edward J. Ozone ultraviolet photolysis. I. The
 effect of molecular oxygen. «J. Chem. Phys.», 1970, 52,
 № 12, 6119—6125 (англ.)

фотолиз

Спектрофотометрическим методом измерена степень разложения О₃ в различные моменты времени (3—600 мсек) после фотолиза смесей 0,02 лм О₃ с 20 лм N₂, O₂ или He импульсом УФ-света длительностью ~10 мсек. В смесях с N₂ разложение О₃ происходит только во время импульса, тогда как в смесях с O₂ и He оно продолжается и после прекращения облучения. Различие объясняется тем, что после перв. фотолиза $O_3 + h\nu \rightarrow O(^1D) + O_2(^1\Delta)$ происходят различные быстрые втор. процессы,

X · 1970.

24

имеющие разную эффективность: например, в присутствии N_2 осуществляется дезактивация: $O(^1D) + N_2 \rightarrow O(^3P) + N_2$. Получены след. значения констант скоростей р-ций (л/моль·сек): $O_2 + O(^1D) \rightarrow O_2(^1\Sigma_g^+) + O(^3P)$ $1,5 \pm 0,8 \cdot 10^{11}$; $O_2(^1\Sigma_g^+) + O_3 \rightarrow 2O_2 + O(^3P)$ $4,0 \pm 0,5 \cdot 10^9$. Эффективность образования $O_2(^1\Sigma_g^+)$ при взаимодействии $O(^1D)$ с O_2 лежит в интервале $\alpha = 0,6 - 1,0$. Приведены новые оценки констант скоростей по лит. данным (л/моль·сек): $O(^1D) + O_3 \rightarrow 2O_2$ $4 \pm 2 \cdot 10^{10}$; $O(^1D) + N_2 \rightarrow O(^3P) + N_2$ $2 \pm 1 \cdot 10^{10}$; $O(^1D) + Xe \rightarrow O(^3P) + Xe$ $5 \pm 2 \cdot 10^{10}$.

Из резюме

O₃

Brown R. D. upg. 1970

Theor. chin. acta,

18 (2), 98.

mesomurus.
pacreat

(u. CO) III

1970

XI - 4258

03

6 Б136. Фотоионизация и анализ масс озона. Co-
ok G. R. Photoionization of ozone with mass analysis.
«Recent Develop. Mass Spectroscopy. Proc. Int. Conf.
Mass Spectroscopy, Kyoto, 1969», Tokyo, 1970, 761—763.
Discuss., 763—764 (англ.)

Вакуумный УФ-монохроматор с нормальным паде-
нием луча в сочетании с квадрупольным масс-спектро-
метром использован для исследования абсорбции и
фотоионизации озона. Энергия фотонов (E) изменялась
непрерывно от 12,4 до 20,7 эв с разрешением ~ 2 мв.
При фиксированном значении $E=17,00$ эв, интенсив-
ность основных ликов спектра O_2^+ и O_5^+ возрастила
пропорционально квадрату увеличения давления O_3 .
Возможные механизмы образования этих ионов: 1)
 $O_3 + O_3 \rightarrow O_2^+ + 2O_2$ и 2) $O_3 + O_3 \rightarrow O_5^+ + O$; константы
скорости р-ций — $1,2 \cdot 10^{-11}$ и $0,1 \cdot 10^{-10}$ см³/сек, соотв.
Из зависимости интенсивности ионов O_2^+ и O_5^+ от
длины волны, при постоянном давлении O_3 , найдено,
что их потенциалы появления совпадают с потенциа-
лом ионизации O_3 (12,67 эв).
M. Туркина

Фотоиони-
зация

Х. 1975 № 6

O₃

XI-4258

1970

3 Д287. Mass-analysis products photoionization ozone. Cook G. R. Photoionization of ozone with mass analysis. «Recent Develop. Mass Spectroscopy. Proc. Int. Conf. Mass Spectroscopy, Kyoto, 1969». Tokyo, 1970, 761—763. Discuss., 763—764 (англ.)

С помощью квадрупольного масс-спектрометра изучены продукты фотоионизации озона в интервале энергий ионизующего излучения 12,4—20,7 эв с разрешением около 2 мв. Получены зависимости наиболее интенсивных линий (O_3^+ , $O_3H_2^+$, O_5^+ и O_2^+) от величины давления озона (5—1000 в ед. 10^{-3} мм рт. ст.) в области ионизации. Помимо O_3^+ , появление остальных ионов связывается с протеканием ионно-молекулярных реакций $O_3^+ + O_3 \rightarrow O_2^+ + 2O_2^+$ или $O_5^+ + O_3$, а также возможными процессами перезарядки O_5^+ на O_3 или колебательно-возбужденных ионов O_2^+ на O_3 . Оцениваются константы скорости некоторых из этих процессов.

фотоиониз.
продукты
фотоиониз.

ф. 1975
№ 3

Г. А. Вомпе

☒ ④ D. и. с. + O_3^+ , O_5^+ , O_2^+

1970

O₃

(48006m) O₂(a¹Δ_g) in the photolysis of ozone, monitored by kinetic absorption spectroscopy in the vacuum ultraviolet. Donovan, Robert J.; Kirsch, L. J.; Husain, David (Dep. Phys. Chem., Univ. Cambridge, Cambridge, Engl.). *Chem. Phys. Lett.* 1970, 7(4), 453-4 (Eng). The optically metastable singlet state of O₂, O₂(a¹Δ_g), was obsd. and monitored by kinetic absorption spectroscopy in the vacuum uv following flash photolysis of O₃ [$p(O_3) = 9.1 \text{ N/m}^2$] at room temp. in the presence of He [$p(\text{He}) = 6.65 \text{ kN/m}^2$]. The kinetics show that 7 diffuse bands, with bandheads at 122.90-148.65 nm, can be assigned to absorption in this excited singlet state. The rate const. for the reaction O₂(a¹Δ_g) + O₃ → 2O₂ + O is $\approx 5 \times 10^{-14} \text{ cm}^3/\text{mol}\cdot\text{sec}$ at 300°K. This system can be used for detailed kinetic studies of O₂(a¹Δ_g). DWJN

Uellin.

Q.D.M.

C.A. 1971.74.10.

O₃

ЗР-XI-1828а

1970

9Д338. Исследование поглощения атмосферного озона в области 9—10 мк с помощью спектрометра, установленного на воздушном шаре-зонде. Goldman A., Kyle T. G., Muggsau D. G., Muggsau F. H., Williams W. J. Long path atmospheric ozone absorption in the 9—10- μ region observed from a balloon-borne spectrometer. «Appl. Opt.», 1970, 9, № 3, 565—580 (англ.) С помощью спектрометра, установленного на воздушном шаре-зонде измерено поглощение атмосферой солнца.

Ф. 1970-92

нечного излучения в области 9—10 мк в зависимости от высоты. Полученные данные сравнены с теоретически рассчитанными для основных частот v_3 и v_1 колебания озона $^{16}\text{O}_3$. Показано, что «горячие» полосы $v_3 + v_2 - v_2$ и $v_3 + v_3 - v_3$ озона и основная частота v_3 изотопич. образцов $\text{O}^{16}\text{O}^{18}\text{O}^{16}$ и $\text{O}^{16}\text{O}^{16}\text{O}^{18}$ приписаны основному поглощению для длинных оптич. путей в данном эксперименте (как и $v_3 - v_1$ и $v_3 - 2v_2^0$ полос CO_2). Включение этих слабых полос в рассчитанные спектры приводит к хорошему согласию с экспериментом. Библ. 18.

O₃

1970

(53177t) Molecular force field for ozone. Pillai, M. G.
Krishna; Pillai, Parameswaran P. (Dep. Phys., Shivaji Univ.,
Kolhapur, India). *J. Shivaji Univ.* 1969-1970 (Pub. 1970), 2-3(4,
6), 41-5 (Eng). The evaluation of the force consts. for the ozone
mol. is made using a modification of the Urey Bradley force
field method which takes into account the unpaired electrons.
The magnitude of the lone pair-bond pair interaction is greater
than that of the bond pair-bond pair interaction. This result is
in agreement with the fundamental assumptions made to explain
the shapes of inorg. mols.

P. K. Hatton

C. A. 1971. 45.8

O₃

(VI-446)

1970

16395y Absorption spectrum of the ozone precursor. Riley.

John F.; Cahill, R. W. (Lockhead Palo Alto Res. Lab., Palo Alto, Calif.). "J. Chem. Phys." 1970, 52(6), 3297-8 (Eng).

The absorption spectrum of O₃ and its precursor were measured as a function of wavelengths at various times. These spectra are distinct one from the other; that of the O₃ precursor has a max. at 310-20 m μ . The half-life for the disappearance of the precursor at 334, 365, and 405 m μ is 5 μ sec. The precursor is likely a single species rather than O₃ mols. in vibrationally excited states.

BGJN

current
nonlongitudinal

C.A.

1970

92.22

XI-753

1970

O₃

1) 21 Б235. Начало основной полосы v_2 озона. Тапа-
ка Takehiko, Могино Yonezo. Band origin of the
 v_2 fundamental of ozone. «J. Mol. Spectrosc.», 1970, 33,
№ 3, 552—553 (англ.)

Вычислен контур полосы v_2 молекулы O₃ с использова-
нием вращательных постоянных, определенных методом
МВ-спектроскопии для основного и возбужденного $v_2=1$
колебательных состояний. Учитывались все вращатель-
ные переходы с $J \leq 40$, при этом для учета вклада цент-
робежного растяжения использовались постоянные цент-
робежного растяжения O₃, определенные Пирсом
(РЖХим, 1956, 60784). Вычисленный контур полосы v_2
для O₃ удовлетворительно согласуется с эксперим. конту-
ром. Из 9 неперекрывающихся между собой линий вра-
щательных переходов, принадлежащих к ветвям ^RQ₀ и
^PQ₁ полосы v_2 , найдено начало полосы v_2 (средн.) =
 $= 700,93 \text{ см}^{-1}$.

А. Александров

X · 1970 · 21

O₃

XI-753

1970

105429m Band origin of the ν_2 fundamental of ozone. Takemoto, Takehiko; Morino, Yonezo (Fac. Sci., Univ. Tokyo, Tokyo, Japan). *J. Mol. Spectrosc.* 1970, 33(3), 552-3 (Eng). The rotational structure assignment in the ir spectrum of ozone was reexamd. in order to det. the band origin of the ν_2 fundamental. The band envelope was computed with the rotational consts. detd. by microwave spectroscopy. The computed spectrum is compared with the obsd. spectrum and the ν_2 band origin is detd. as 700.93 cm^{-1} . DYJN

W.M.-checked

C.A. 1970.72.20

O₃ 11

21 Б242. Кориолисово взаимодействие и ангармоническая потенциальная функция озона из микроволновых спектров в возбужденных колебательных состояниях.

Tanaka Takehiko, Morino Yonezo. Coriolis interaction and anharmonic potential function of ozone from the microwave spectra in the excited vibration states. «J. Mol. Spectrosc.», 1970, 33, № 3, 538—551 (англ.)

Исследованы МВ-вращательные спектры O_3^{16} в возбужденных колебательных состояниях $V_2=1$ ($1 \leq J \leq 26$), $V_2=2$ ($0 \leq J \leq 19$), $V_1=1$ ($0 \leq J \leq 19$) и $V_3=1$ ($2 \leq J \leq 20$) в области 8000—70 000 Мгц. Уровни $V_1=1$ и $V_3=1$ связаны между собой сильным кориолисовым взаимодействием. Определены вращательные постоянные O_3^{16} в возбужденных колебательных состояниях (для учета центробежного растяжения при этом использовались τ -постоянныес основного колебательного состояния O_3^{16} , определенные Пирсом (L. Pierce, «J. Chem. Phys. 1956, 24, 139), варьировалась только по-

гласу
←0
=781°

X·1970. 21

состояния τ_{aaaa} ($V_1=1$) $A=106625,59$, $B=13272,68$,
 $C=11764,82$, ($V_2=1$) $A=108137,57$, $B=13311,20$, $C=$
 $=11765,17$, ($V_3=1$); $A=104943,79$, $B=13229,59$, $C=$
 $=11726,05$, ($V_2=2$); $A=109795,91$, $B=13272,88$; $C=$
 $11694,26$ Мгц. На основе определенной постоянной ко-
 риолисова взаимодействия $\varphi_{13}^e=0,60 \pm 0,01$ и частот нормаль-
 ных колебаний определены силовые коэф. общего
 валентного силового поля O_3 : $F_{11}=7,66 \pm 0,14$, $F_{12}=0,59 \pm$
 $\pm 0,04$, $F_{22}=1,31 \pm 0,04$, $F_{33}=4,67 \pm 0,08$ (все в мдин/А). Из
 постоянных колебательно-вращательного взаимодействия
 α_i^A , α_i^B , α_i^C ($i=1, 2, 3$) определены кубич. коэф. в
 разложении потенциальной функции по нормальным ко-
 ординатам. Квартичные коэф. в разложении потенциаль-
 ной функции O_3 найдены из колебательных ангармо-
 нич. постоянных O_3 , приведенных в литературе. Приве-
 дены следующие величины кубич. и квартич. коэф. O_3
 (см^{-1}) : $k_{111}=-47,6 \pm 0,7$, $k_{122}=-24,3 \pm 3,6$, $k_{133}=-221,8 \pm$
 $\pm 3,7$, $k_{112}=-29,5 \pm 1,0$, $k_{222}=-19,2 \pm 0,6$, $k_{233}=-59,3 \pm 1,7$,
 $k_{1111}=7$, $k_{1122}=-4$, $k_{1133}=22$, $k_{2222}=1$, $k_{2233}=-9$, $k_{3333}=4$.
 Значения кубич. коэф. O_3 даны также во внутренней си-
 стеме координат. Отмечена близость ряда соответствую-
 щих кубич. и квартичные коэф. O_3^{16} , F_2O и SO_2 . Определена
 равновесная структура O_3 $r_e(0-0)=1,2717 \pm$
 $\pm 0,0002$ А, $\theta_e(0-0-0)=116^\circ 47' \pm 2'$. Приведены парамет-
 ры средней структуры O_3 в основном и возбужденных
 колебательных состояниях.

А. Александров

O₃

M. N.

72936u Coriolis interaction and anharmonic potential function of ozone from the microwave spectra in the excited vibrational states. Tanaka, Takehiko; Morino, Yonezo (Fac. Sci., Univ. Tokyo, Tokyo, Japan). *J. Mol. Spectrosc.* 1970, 33(3), 538-51 (Eng). Microwave absorption spectra of O₃ were identified in the excited vibrational states with $v_1 = 1$, $v_2 = 1$ and 2, and $v_3 = 1$. In the $v_1 = 1$ and $v_2 = 1$ states, an anomaly owing to a strong Coriolis interaction was obsd. The inertia defect in the Coriolis perturbed states was defined and successfully applied to the anal. The Coriolis coupling const. ξ_{13}^c was detd. to be 0.60, from which the quadratic force consts. were derived. The cubic potential consts. (and 3rd-order force consts.) were detd. from the vibration-rotation interaction consts. obtained. The quartic potential consts. were derived from the vibrational anharmonic consts. by McCaa and Shaw. Close similarities were obsd. among the anharmonic potential consts. of O₃, SO₂, and OF₂. The equil. structure and av. structures in the ground and excited vibrational states were obtained.

RCKP

CIA: 1970.

72. 14

1970

5/5

X/1

O₃

1870

11 Д605. Кориолисово взаимодействие и ангармоническая потенциальная функция озона, определенные из микроволновых спектров молекулы в возбужденных колебательных состояниях. Талака Takehiko, Могино Yonezo. Coriolis interaction and anharmonic potential function of ozone from the microwave spectra in the excited vibration states. «J. Mol. Spectrosc.», 1970, 33, № 3, 538—551 (англ.)

М.Н.
иссл. ст.)

Для определения молекулярной структуры равновесного состояния и гармонических и ангармонических силовых постоянных озона измерены и идентифицированы микроволни. спектры поглощения (8—70 кМгц) молекулы в возбужденных колебательных состояниях ($v_1=1$; $v_2=1$ и 2, $v_3=1$). Для $v_1=1$ и $v_3=1$ наблюданы аномалии, связанные с кориолисовым взаимодействием (КВ). Оп-

99. 1980.

110

ределена постоянная КВ, равная 0,60. Из ее значения найдены силовые постоянные 2-го порядка. Из измерения постоянных колебательно-вращательного взаимодействия определены силовые постоянные 3-го порядка. Приведена сравнительная таблица силовых постоянных для молекул O_3 , OF_2 и SO_2 . Определены параметры молекулярной структуры: $r_e(0-O) = 1,2717 \pm 0,0002 \text{ \AA}$, $\theta_e(O-O-O) = 116^\circ 47' \pm 2'$.

Г. П.

XI-518

1970

03

18 Б71. Силовые коэффициенты молекул с сильно взаимодействующими колебаниями. Thakur S. N., Rai S. N. Force constants of molecules with strongly coupled vibrations. «J. Mol. Struct.», 1970, 5, № 4, 320—322 (англ.)

Рассмотрено определение силовых коэф. F_{11} , F_{22} , F_{12} общего валентного силового поля для молекул ZX_n в случае сильного кинематич. взаимодействия ($m_z < m_x$) из двух эксперим. частот кол. ν_1 и ν_2 (двумерная задача) при условии наложения дополнительного ограничения, связанного с экстремальными св-вами силовых коэф. (РЖХим, 1970, ЗБ56). В кач-ве примера рассмотрены молекулы O_3 , F_2O , Cl_2O , $B^{10}F_3$, $B^{11}F_3$, NF_3 , PCl_3 , $C^{12}F_4$, $C^{13}F_4$. Для получения удовлетворительных значений силового коэф. F_{12}^c экстремальное значение F_{12} , соотв-щее $F_{22} \min.$

Сис. и.

+6

X 1970. 18

18

умножалось на множитель $|G_{12}/(G_{11}G_{22}+G_{12}^2)^{1/2}|$. Затем находили «уточненные» значения силовых коэф. F_{11} и F_{22} при использовании равенства $F_{12}=F_{12}^c$. Отмечено удовлетворительное согласие для рассмотренных молекул найденных таким методом коэф. с силовыми коэф. валентного силового поля.

А. Александров

O₃

XI - 518

1970

8864n Force constants of molecules with strongly coupled vibrations. Thakur, S. N.; Rai, S. N. (Fac. Sci., Banaras Hindu Univ., Varanasi, India). *J. Mol. Struct.* 1970, 5(4), 320-2 (Eng). The force consts. of O₃, F₂O, Cl₂O, ¹⁰BF₃, ¹¹BF₃, NF₃, PCl₃, ¹²CF₄, and ¹³CF₄, were calcd. and compared to the respective generalized valence force field values. In agreement with W. Sawodny (1969), in every case the force consts. F_{11} and F_{12} are very large. The values of F_{12} and F_{22} in the A_1 -species of NF₃ corresponding to $F_{22} = \text{min.}$ are incorrectly given by S.

DWJN

Cert. No. 1

C.S. 1970.

73.2

W

O_2, O_3, NO, NO_2, NO_3 (Fe^-) 11/13 1971 (1971)

Berkowitz Y., Chupka W.A., Gutmann,
J. Chem. Phys., 1971, 55, N₆, 2733 -
- 2745 (ann.)

Electron affinities of $O_2, O_3, NO,$
 NO_2, NO_3 by endothermic charge
transfer.

PolePhys, 1972, 2D343 10 ^{b ag lebo} (P)

Brand J. C. et al.,

Hob.

Molecul. Spectrosc., 1971,
40, 616

64

O₃(703)

w.w.

1941

O₃

N₂O

Mercury

92730 Polyatomic vibrational intensity calculations. Breene,
Robert G., Jr. (Phys. Stud. Inc., Morgantown, W. Va.). U.S.

Clearinghouse Fed. Sci. Tech. Inform., AD 1971, No. 722466, 58
pp. (Eng). Avail. NTIS. From Govt. Rep. Announce. (U.S.)
1971, 71(12), 82. Methods of intensity estn. are developed where-
by most of the polyat. mols. of interest to certain aspects of atm.
research may be treated. The O₃ mol. is treated, a method for
calcg. the matrix element ratios between the first overtone and
the fundamental and between the second overtone and the
fundamental being developed for nondegenerate vibrations in the
course thereof. The N₂O mol. is also treated, a method for
analogous matrix element ratios for 2-fold degenerate vibrations
being developed in the course of this treatment. HNO₃ and CH₄
intensities are also considered, the matrix element ratios being
developed for the 3-fold degenerate case in connection with the
latter.

C.A.

1941

.15.14

1971

O₂

air sea

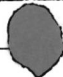
05.

Boyd L.Y.
Whithead M.F.

y

J. Chem. Soc.,

1971, A, v22, 3549.



(Sci. BH) III

Сравнение орбет. звезды и времени
попседиций и часов измеряющих (21).

Список измерений.

И-ре	Орбет.	I	II	III	IV	диспер.
O ₃	a ₂	13.45	11.39	13.59	11.51	12.3
	a ₁	14.19	12.12	14.41	12.67	12.52
	b ₂	15.16	13.09	14.76	12.67	13.52
	b ₁	19.20	17.19	18.44	16.70	16.4-17.4
	b ₂	19.20	17.24	19.91	17.99	
	a ₁	20.10	18.12	19.89	17.88	19.21
	a ₁	26.34	25.31	25.48	28.91	
	b ₂	36.55	36.08	34.25	33.68	
	a ₁	48.31	48.60	41.46	41.05	

03

Deglise X.
Giguere P.A.

1971

7i

Can. J. Chem., 1971,

49, n13, 2242.

(Cu. H₂O₃)III

O₃

1941

gonzague
copy.

323362 Photodissociation of ozone in the Hartley Band. Reactions of atomic oxygen (¹D) and molecular oxygen (¹ Σ_g^+) with ozone and molecular oxygen. Gilpin, R.; Schiff, H. I.; Welge, K. H. (Cent. Res. Exp. Space Sci., York Univ., Toronto, Ont.). *J. Chem. Phys.* 1971, 55(3), 1087-93 (Eng). The uv photolysis of O₃ in the presence and in the absence of O₂ has been investigated in the wavelength region \sim 2375-2625 Å by using flash photolysis and kinetic emission spectroscopy with a time resolution high enough to allow unambiguous identification of photodissocn. products. The production of O(¹D) was established by observing the forbidden ¹D \rightarrow ³P emission at 6300 Å. The decay of the emission provided a value of the rate const. for the O(¹D)-O₃ reaction of $(2.5 \pm 1) \times 10^{-10}$ cm³ mol.⁻¹ sec⁻¹ at 25°. Anal. of the O(¹D) decay showed that the rate of chain reactions in which O(¹D) could be reproduced must be smaller than the O(¹D)-O₃ quenching rate by more than an order of

C. H. 1941. 45. 12

magnitude. No emission was obsd. from $O_2(^1\Sigma_g^+)$ when O_3 alone was photolyzed, indicating that the primary yield for $O_2(^1\Sigma_g^+)$ production is smaller than 1/20 of the $O(^1D)$ production. $O(^1D)$ was very efficiently quenched when N_2 and O_2 were added. $O_2(^1\Sigma_g^+)$ was obsd. by the $^1\Sigma_g^+ \rightarrow ^3\Sigma_g^-$ emission when O_3 - O_2 mixts. were photolyzed. The emission disappeared when N_2 was added. The $O_2(^1\Sigma_g^+)$ production and decay rates were measured at various O_3 and O_2 concns. $O_2(^1\Sigma_g^+)$ was formed by energy transfer from $O(^1D)$ to ground state O_2 . The decay of the $^1\Sigma_g^+$ emission provided a value of the rate const. for the $O_2(^1\Sigma_g^+)$ - O_3 quenching of $(2.5 \pm 0.5) \times 10^{-11} \text{ cm}^3 \text{ mol.}^{-1} \text{ sec}^{-1}$. The relative quenching rate of $O(^1D)$ by O_3 and O_2 was ~ 5 , yielding an $O(^1D)$ - O_2 rate const. of $5 \times 10^{-11} \text{ cm}^3 \text{ mol.}^{-1} \text{ sec}^{-1}$ with an uncertainty of a factor of 2. The dependence of the $^1\Sigma_g^+$ emission on the O_2 pressure showed that the primary quantum yield of $O_2(^1\Sigma_g^+)$ is at least 20 times smaller than that of $O(^1D)$, in agreement with the previous result.

$\text{SO}_2, \text{SO}, \underline{\text{O}_3}, \text{O}_2$ (Ei, u.n., paerën) 1971
" " 12

Hiller I.H., Saunders V.R., X 2751

Mol. Phys., 1971, 22, N2, 193-201
(ans.)

A theoretical interpretation
of the bonding, and the
photoelectron and ultra-
violet spectra of sulphur
dioxide.

Proc. Cam., 1972, 8529 10 5

⑨

O₃

15 Б973. Фотолиз озона при ультрафиолетовом облучении. V. Photochemical formation of O₂(¹Δ_g). Jones I. T. N., Wayne R. P. The photolysis of ozone by ultraviolet radiation. V. Photochemical formation of O₂(¹Δ_g). «Proc. Roy. Soc. London», 1971, A321, № 154б, 409—424 (англ.)

1971

фотолиз

Изучен фотолиз O₃ при 254 нм в проточной системе с использованием в кач-ве носителей He, Ar и N₂. Изучение системы O₂(¹Δ_g → ³Σ_g⁻) при λ=1,27 мк было единственным детектируемым оптич. излучением продуктов фотолиза. Кинетич. исследования показали, что O₂(¹Δ_g) является первичным продуктом фотолиза O₃ при 254 нм: O₃+hv → O₂(¹Δ_g) + O(¹D). Найдено, что квантовый выход, Φ, образования O₂(¹Δ_g) близок к 1. Измерения Φ позволяют рассчитать конц-ию O₂(¹Δ_g) в атмосфере на различных высотах и сравнить полученные данные с данными по исследованию конц-ии с помощью ракет. Ч. III см. РЖХим, 1970, 2Б1245.

Резюме

X·1971·15

+1

☒

XI-2720

1941

O₃
 10 Б271. Спектр озона в миллиметровой области.
Lichtenstein M., Gallagher J. J., Clough S. A.
 Millimeter wave spectrum of ozone. «J. Mol. Spectrosc.»,
 1971, 40, № 1, 110—26 (англ.)

M. R. На двух микроволновых интерферометрах Фабри-Перо, построенных для области миллиметровых волн, исследован вращательный спектр озона в области частот до 320 Гц. Идентифицированы линии переходов между вращательными уровнями с $J \leq 60$ и $K_a < 9$ в основном колебательном состоянии. Анализ спектра выполнен с учетом эффектов центробежного искажения вплоть до 4-го порядка. Определены значения вращательных постоянных $A = 106536,2813$, $B = 13349,0465$, $C = -11834,5493$ Мгц и 16 постоянных центробежного искажения 2- и 4-го порядков. По эффекту Штарка для 6 переходов измерен дипольный момент O_3 ($0,5324 \pm 0,0024 D$).

M. R. Алиев

РМС, 1942, а 10

XI-2720

1971

O₃ 156550p Millimeter wave spectrum of ozone. Lichtenstein,
M.; Gallagher, J. J.; Clough, S. A. (Martin Marietta Corp.,
Orlando, Fla.). *J. Mol. Spectrosc.* 1971, 40(1), 10-26 (Eng).
The microwave transitions of O₃ were obsd. to the frequency of
320 GHz, and the spectrum recalcd. to obtain new rotational
consts. for the mol. The Stark effect has been measured for 6
transitions to yield an root-mean-square value of the dipole
moment of 0.5324 ± 0.0024 D. Linewidth measurements on 2
rotational transitions have resulted in a halfwidth at half power
of 4.63 ± 0.24 MHz/torr.

M. B. Creekp

G. A. 1971. 75 · 26

O₃

XI-2720

1971

- 1) 4 Д491. Спектр озона в миллиметровой области.
Lichtenstein M., Gallagher J.J., Clough S.A.
Millimeter wave spectrum of ozone. «J. Mol. Spectrosc.»,
1971, 40, № 1, 10—26 (англ.)

В области 50—316 ГГц наблюден вращательный спектр молекулы O₃. Для увеличения чувствительности системы использован интерферометр. Получено 66 добавочных чисто вращательных переходов в основном колебательном состоянии. На 6 переходах измерен эффект Штарка. Вычислены вращательные постоянные. Найдена величина дипольного момента, равная $0,5324 \pm 0,0024$ ед. Дебая. Для нахождения значения ширины линии $2\Delta\nu/p$ изучены переходы при 118,3 и 110,8 ГГц при низком давлении при т-ре 23°C. Получено $2\Delta\nu/p = 4,63 \pm 0,24$ МГц мм рт. ст.

Г. П.

Ф. 1972. 4Д

O₃

-1

XI 1. 27.20

Lichtenstein M., Gallagher J.J. 1971

J. Mol. Spectrosc. 1971, 40, 11, 10-26

Из спектра O₃H₂.

Обнаружен 50-320 GHz. 66 линий с

лишайником на горе Камчатка. $\gamma \leq 100$

Надир. излучение вак. камеры. $K_A < 9$.

Лин. излучение вак. камеры

Решение задачи о фрикционном движении

$$K = AP_x^2 + BP_x^2 + CP_y^2 +$$

$$+ T_1 P_x^4 + T_2 P_y^4 + T_3 P_z^4 + T_4 (P_x^2 P_z^2 + P_z^2 P_y^2) +$$

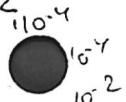
$$+ T_5 (P_z^2 P_x^2 + P_x^2 P_z^2) + T_6 (P_x^2 P_y^2 + P_y^2 P_x^2)$$

$$+ \Phi_1 P_x^6 + \Phi_2 P_y^6 + \Phi_3 P_z^6 + \Phi_4 (P_x^2 P_y^4 + P_y^4 P_x^2) + \dots \Phi_6$$

линейные коэффициенты знакоизменяющиеся в зависимости от $(T_x^2 P_y^2 P_z^2 + P_z^2 P_y^2 P_x^2)$.

Задача о симметрии для $O_3 (NHz)$

B	$\begin{smallmatrix} xy \\ yy \end{smallmatrix}$	13349,0465	$\pm 0,0034$
C	$\begin{smallmatrix} zz \\ zz \end{smallmatrix}$	11834,5493	$\pm 0,010$
A	$\begin{smallmatrix} z z \\ z z \end{smallmatrix}$	106536,1813	$\pm 0,0072$
T ₁	$\begin{smallmatrix} xxxx \\ yyyy \end{smallmatrix}$	-177,5735	$\pm 0,14$
T ₂	$\begin{smallmatrix} yyyy \\ zzzz \end{smallmatrix}$	-94,305	$\pm 0,18$
T ₃	$\begin{smallmatrix} zzzz \\ zzzz \end{smallmatrix}$	-629,8862	$\pm 0,31$



Бактерии *Escherichia coli*
г. Ч. Р. 1953, 20, 959
исследованы

Динамический показатель
 $0,5324 \pm 0,0024\%$

O₃

1971

39677v) Radiation absorption in 4.75-, 9.6-, and 14.2-nm ozone bands. Moskalenko, N. I. (USSR). *Izv. Akad. Nauk SSSR, Fiz. Atmos. Okeana* 1971, 7(7), 808-10 (Russ). Spectral and integral absorption of the O₃ bands are given for pressures 0.0015-10 atm and content $\omega(O_3)$ 0.002-200 atm-cm. Parameters m_ν , n_ν , and β_ν of the function of spectral transmission $\tau_\nu = \exp[-\beta_\nu \omega^{m_\nu} P^{n_\nu}]$ in bands at 4.75 and 14.2 nm (for resolution 10 cm⁻¹) are given. Integral intensity α was 466, 47, and 38 cm⁻² atm⁻¹ for the bands at 9.6, 4.75, and 14.2 nm. K. Volka

C. d. 1972. 76. 8

O₃

Kb. recd.
Schaefer

121942r Self-consistent-field wave functions, energies, multipole moments, diamagnetic susceptibility and shielding tensors, and electric field gradient tensors for nitrogen dioxide and ozone. Rothenberg, Stephen; Schaefer, Henry F., III (Inf. Syst. Des., Oakland, Calif.). *Mol. Phys.* 1971, 21(2), 317-27 (Eng). By using basis sets of "double zeta plus polarization" quality, non-empirical SCF calcs. have been carried out on the ground states of NO₂ and O₃. The computed total energies, -204.0679 and -224.3093 hartree, are the lowest reported to date for these mols. and are estd. to lie ~0.06 hartree above the resp. Hartree-Fock limits. Calcs. were also carried out without d (or polarization) functions, and it was detd. that (1) d functions are ~3 times more important on the central atom than on the terminal O in both mols. and (2) d functions are less important in O₃ than in SO₂. Calculated 2nd moments of the electronic charge distribution and diamagnetic susceptibilities are in good to excellent agreement with expt. for ozone. Dipole moments for both mols. and quadrupole coupling consts. for NO₂ are only in qual. agreement with expt. The calcd. mol. quadrupole moments of O₃ are in poor agreement with the exptl. values. A large no. of mol. properties are predicted for which no exptl. values are presently available.

C.A. 1971 \$5.20

(1) 100

O₃

Rothenberg S.,
Schaefer H.

1971

pager

Mol. Phys., 1971,
21, ~2, 314.

● (C₂ NO₂)III

1971

③

119281b Analysis of the ($\gamma_1 + \gamma_2 + \gamma_3$) combination band of ozone. Snider, Donald E. (Ohio State Univ., Columbus, Ohio). 1971, 129 pp. (Eng). Avail. Univ. Microfilms, Ann Arbor, Mich., Order No. 72-4650. From *Diss. Abstr. Int. B* 1972, 32(7), 4139.

11

C.A. 1972 76:20

$\text{O}_2, \text{O}_3, \text{O}_2, \text{O}_2$ (cuerupar) $\Sigma 2778^{\text{ir}}$ 1971

Weisbeck R., Völkner A.,

Z angew. Phys., 1971, 32, N4, 258-
-265 (neue.)

Das Emissionsspektrum der stil-
len elektrischen Entladung
in Sauerstoff von Normal-
druck.

Btc Xmu, 1972, 95161 10 10

CO_2 ; CS_2 ; NaO ; OCS' ;
 HCN ; SO_2 ; $\underline{\text{O}_3}$; H_2O (even.) XI 3210 1972
11 11

Auderson A.B.,

J. Chem. Phys.; 1972, 57, 1110, 1143-
- 4152 (aud.)

Theoretical approach to potential energy functions for linear AB_2 and ABC and bent AB_2 triatomic molecules.

Bell, 1973, 7594 10



0₃

7 Б239. Спектры комбинационного рассеяния и инфракрасного поглощения и анализ колебательного спектра озона и O¹⁸-замещенных молекул озона, изолированных в аргоновой матрице. Andrews Lester, Spiker Robert C., Jr. Argon matrix raman and infrared spectra and vibrational analysis of ozone and the oxygen-18 substituted ozone molecules. «J. Phys. Chem.», 1972, 76, № 22, 3208—3213 (англ.)

1972

Измерены спектры КР- и ИК-поглощения O₃ и O₃, обогащенного O¹⁸ в АГ матрице при M/A=50 и 200. В спектре КР найдены линии основных колебаний O₃¹⁶: ν₁ 1104 см⁻¹, очень сильное; ν₂ 701 см⁻¹ сильное, ν₃ 1038 см⁻¹, слабое. Наряду с этими линиями в спектре обнаружены также полосы еще 5 изотопич. производных O₃ с O¹⁸. Изотопич. структура полос поглощения обнаружена и в спектре ИК поглощения O₃. Отмечено незначительное отличие частот основных колебаний O₃ в газе и в матрице (максим. 2—3 см⁻¹). Проведен расчет основных колебаний O₃ и определена величина валентного угла O₃: 116.3±4°.

Г. Кузьниц

(ν_i, ν_{max})

XI - 3266

X. 1973. N 7 .

1972

O₃

158277v Argon matrix Raman and infrared spectra and vibrational analysis of ozone and the oxygen-18 substituted ozone molecules. Andrews, Lester; Spiker, Robert C., Jr. (Chem. Dep., Univ. Virginia, Charlottesville, Va.). *J. Phys. Chem.* 1972, 76(22), 3208-13 (Eng). Raman spectra of Ar matrix-isolated O₃ and ¹⁸O-enriched ozones were obtained by using reduced power Ar ion laser excitation. Photodecompn. of ozone was sufficiently moderated to obtain excellent Raman spectra,

(Vi)

with the following ¹⁶O₃ assignments: ν_1 , 1104 cm⁻¹, very strong; ν_2 , 701 cm⁻¹, strong; ν_3 , 1038 cm⁻¹, weak. Infrared spectra provided complementary data: ν_1 , 1105 cm⁻¹, very weak; ν_2 , 704 cm⁻¹, weak; ν_3 , 1040 cm⁻¹, very strong. Potential consts. were calcd. by using vibrational fundamentals for 6 isotopic O₃ mols. An O₃ valence angle of $116.3 \pm 4^\circ$ was calcd. from 4 isotopic ν_3 assignments, in excellent agreement with the microwave value.

C.A.1972.77.N24.

H_2S , H_2Se , H_2O , SO_2 , ClO_2 , N_2O , O_3 (u.n.) 1972
 $\underline{paeriem}$ 11 3

Alex A., Bernard Z., XI 3029 12

Z. Naturforsch., 1972, 27a, 14, 593-
new E-E-Gax - 587 (aucl.)

Parametric study of functions
of molecular vibrations. IV.

Coupling constants for
the molecules O , X_2 , and X_3 (symmetry)

CA72 ~~CAV~~ 544 ^(P)
B/E Bull, 1972, 18565

Оз

XI-2802

1972

14 Б234. Инфракрасный спектр поглощения газообразного озона. Вагье Альain, Сесгоум Claude, Jouye Pierre. Spectre d'absorption infrarouge de l'oxygène gazeux. «С. т. Acad. sci.», 1972, 274, № 9, B615—B618 (франц.)

Исследован ИК-спектр поглощения газ. озона (I) при 110° в области ~ 400 — 4025 см^{-1} с использованием специальной многоходовой кюветы (длина оптич. пути 4 м). Дано отнесение колебательного спектра I. Для полос I типа симметрии A_1 и B_1 наблюдается вращательная структура. На основании анализа спектра определены след. колебательные постоянные. I; $\omega_1 = 1128,0$, $\omega_2 = 715,5$, $\omega_3 = 1092,7$, $X_{11} = -1,6$, $X_{22} = -1,0$, $X_{33} = -12,3$, $X_{12} = -8,3$, $X_{13} = -35,0$, $X_{23} = -17,0 \text{ см}^{-1}$.

А. П. Александров

X. 1972

14

O₃

XI-2802

1972

11673n Infrared absorption spectrum of gaseous ozone.
Barbe, Alain; Secroun, Claude; Jouve, Pierre (Lab. Phys. Mol.,
Fac. Sci., Reims, Fr.). *C. R. Acad. Sci., Ser. B* 1972, 274(9),
615-18 (Fr). The ir absorption spectrum ($400\text{--}4000\text{ cm}^{-1}$) of
gaseous O₃ was obtained at -110° with a 3-m optical-path cell.
The 18 bands obsd. were assigned to fundamentals (ν_1 , ν_2 , and ν_3)
and combination vibrations, and were used to calc. the mech. an-
harmonicity consts. and zero-order frequencies.

U.K.C.

C.A. 1972. 44. 2

Brand J. C. D., Srikames-
waran K.,

Hob. Chem. Phys. Lett., 1972, 15, 130

65

O₃(gas)

cl. n.

0

3

XI-2807

1972

39567j Infrared absorption spectra of isotopic ozone isolated
in rare-gas matrixes. Brewer, Leo; Wang, J. Ling-Fai (Law-
rence Berkeley Lab., Univ. California, Berkeley, Calif.). *J.
Chem. Phys.* 1972, 56(2), 759-62 (Eng). Some of the isotopic O₃
mols. of different combinations of ¹⁶O and ¹⁸O were synthesized
and isolated in rare-gas matrixes at 20°K. Their ir absorption
bands were identified. The isotope effects are calcd. for sym. as
well as unsym. isotopic O₃ mols.

uk синтез
нанесе
регистрирую сбоку

8/8/72

запись

C.A. 1972. 76:8

O₃

XI-2807

1972

12 Б227. Спектры инфракрасного поглощения изотопических разновидностей озона, изолированных в матрицах инертных газов. Brewer Leo, Wang J. Ling-Fai. Infrared absorption spectra of isotopic ozone isolated in rare-gas matrices. «J. Chem. Phys», 1972, 56, № 2, 759—762 (англ.)

Измерены спектры ИК-поглощения O₃, изолированного в матрицах Xe и Kr. В экспериментах использовалася O₃ с различным содержанием ¹⁶O и ¹⁸O. Отмечено, что при переходе от матрицы в Kr к матрице в Xe наблюдается красное смещение всех трех полос основных кол. O₃. Предложено отнесение полос основных кол. 6 различных изотопически-замещенных молекул O₃.

Г. Кузьянц

ИК-спектр
в мат-ях
Xe и Kr

ИК-спектр
изолир.

X. 1982. 72

справка 889

18 Б86. Теоретическое исследование возбужденных состояний озона. Hay P. J., Goddard W. A., III. Theoretical results for the excited states of ozone. «Chem. Phys. Lett.», 1972, 14, № 1, 46—48 (англ.) .

Обобщенным методом валентных схем и методом взаимодействия конфигураций в гауссовом базисе (РЖХим, 1970, 10Б6) рассчитано основное (1A_1) и низшие возбужденные состояния O_3 . Последние различаются между собой мультиплетностью и пространственной симметрией в конфигурации ядер C_{2v} , и в одноэлектронном приближении характеризуются различным числом π -электронов. Предложена интерпретация спектра O_3 с привлечением возбужденных состояний $^3B_2(4\pi)$, $^1A_2(5\pi)$, $^1B_1(5\pi)$, $^1A_1(6\pi)$ и $^1B_2(4\pi)$. Все эти состояния, за исключением $^1A_1(6\pi)$, отвечают равновесной конфигурации ядер с углом при центральном атоме кислорода около 120° . Для состояния $^1A_1(6\pi)$ равновесное значение этого угла близко к 70° . В этом состоянии озон диссоциирует на возбужденную молекулу $O_2(^1\Delta_g)$ и возбужденный атом $O(^1D)$.

Е. Е. Никитин

X. 1872.18

1972

O₃
(log.
cont.)

40755w Theoretical results for the excited states of ozone:
Hay, P. J.; Goddard, W. A., III (Arthur Amos Noyes Lab.
Chem. Phys., California Inst. Technol., Pasadena, Calif.).
Chem. Phys. Lett. 1972, 14(1), 46-8 (Eng). On the basis of
ab initio calcns. (configuration interaction and generalized
valence bond), 8 excited states of O₃ are found with vertical
excitation energies < 7 eV. By using these results the various
exptl. transitions are assigned. One state has an equilateral
triangle as the min. energy geometry (1.5 eV above the ground
state).

Raylene Adams Coad

ib. dep.
pacet

C.A. 1972. 27.6

O₃

O₃⁻

Rb. Mex.

Merrell

02530y Configuration interaction calculations on ozone and
O₃⁻. Heaton, Marie M.; Pipano, Aaron; Kaufman, Joyce J.

1972

(Dep. Chem., Johns Hopkins Univ., Baltimore, Md.). *Int. J. Quantum Chem., Symp.* 1972, No. 6, 181-6 (Eng). In a theor. study to choose between the several exptl. values for the vertical electron affinity of O₃, configuration interaction (CI) calcns. were performed for O₃ and O₃⁻. Large Gaussian basis sets and symmetry adapted complex functions were used. To a good approxn., the electron affinity for O₃ should be equiv. to the difference in the calcd. single excitation CI results for O₃ and O₃⁻. The difference between natural orbital single excitation CI results for O₃ and O₃⁻ gave a vertical electron affinity of 2.12 eV. This calcd. value is in excellent agreement with the recent exptl. photodetachment measurements (2.1-2.2 eV). This agreement implied that the equil. geometry of O₃⁻ was similar to that of O₃. CI calcns. of the potential curves of O₃ and O₃⁻ from 114.8 to 118.8° indicate that the equil. geometry of the ion is close to that of the parent mol. Higher excitation CI calcns. were carried out using iterative natural orbitals resulting from lower excitation CI calcns.

C.A. 1973.78.110

X1-3314

O_3

O_3^-

$\bar{He}; m.n$

1972

XI - 3344

11523. Расчеты O_3 и O_3^- методом конфигурационного взаимодействия. Heaton Magie M., Ripapo A., Kaufman Joyce J. Configuration interaction calculations on O_3 and O_3^- . «Int. J. Quant. Chem.», 1972, Вып. № 6, 181—186 (англ.)

Методом конфигурац. взаимодействия с итерациями по натуральным орбиталям проведены неэмпирич. расчеты O_3 и O_3^- . Использован базис из сгруппированных гауссовых функций s , p и d типов (4, 2, 1). Обсуждены способы оценки сродства к электрону при расчетах молекул разными методами. Сродство к электрону для O_3 , оцененное как разность между значениями энергии для O_3 и O_3^- , рассчитанными с учетом только однократно

возбужденных конфигураций при равновесной геометрии O_3 ($R=2,415$ ат. ед., $\Theta=116,8^\circ$), найдено ~~расч~~ным 2,12 эв, что хорошо согласуется с эксперим. оценкой 2,1—2,2 эв. Это согласие указывает на близость равновесных конфигураций O_3 и O_3^- , к-рая подтверждается расчетом по методу ССП потенциальных кривых в интервале 114,8—118,8°, приводящим к значению $\Theta=117^\circ$ для O_3^- . Этот результат мало меняется при учете конфигурац. взаимодействия, включающем как однократные, так и двукратные возбуждения.

В. Я. Симкин

Х. 1973

№ 14

(+)

☒

O_3
 O^-_3

1972

XI-3314

7Д139. Расчеты конфигурационного взаимодействия в O_3 и O_3^- . Heaton Magie M., Pirano Aagop, Kaufman Joyce J. Configuration interaction calculations on O_3 and O_3^- . «Int. J. Quant. Chem.», 1972, Symp. № 6, 181—186 (англ.)

(м.и)

С целью получения электронного сродства (ЭС), по методу ССП выполнены расчеты основных состояний молекул O_3 и O_3^- с учетом конфигурац. взаимодействия и использованием большого гауссовского базиса. Предполагается идентичность геометрич. параметров O_3 и O_3^- . Учет одиночных возбуждений практически не влияет на энергию O_3 , но понижает энергию O_3^- и дает

φ. 1973. № 7

верхний предел ЭС. Рассчеты без учета одиночных возбуждений дают нижний предел ЭС. Хорошее согласие среднего ЭС с эксперим. данными означает действительную близость геометрич. характеристик O_3 и O_3^- , что подтверждается непосредственным вычислением валентного угла ($\approx 11.7^\circ$) при длине связи 2,415. Представлены результаты расчётов с учетом двойных для O_3 и некоторых из тройных для O_3^- возбуждений, необходимых для уточнения ЭС, но значительно увеличивающих объём вычислений.

Б. С. Рябов

H_2O ; H_2S ; H_2Se ; SO_2 ; O_3 (см.)
1972
~~(постн.)~~ ХТ 3622.

Креденцер Е.Н., Свердлов И.И.,

д. "Материалы 1-го Все. симпоз.

по вращательн.; симпозиум
шоков, 1969", Баку 1972, 72-78

(русск.) 10

Расчём дифрактограмм инерции и посто-
янных конгебаций - вращательно-
ного вращения. Стандарт и их исполь-
зование для определения струк-
турных построений.

Экз. № 185162

10

NF_3 , O_3^+ , O_3^- , CF_3 (reac. спркн.;) 1972
пакетом

McCain D.C., Palke W.E. № 2984

J. Chem. Phys., 1972, 56, N10, 4957-
- 4965 (арх.)

Calculation of hyperfine
coupling constants in inorga-
nic radicals.

PGF72

Библия, 1972, 21524

8 № 6495
бумага
10 - 6245
10

O₃ (nc)

1972

64611t General properties of the infrared spectra of liquid ozone and its reaction product with atomic hydrogen in the form of a peroxide-radical condensate. Nekrasov, L. I.; Yagodovskaya, T. V. (Mosk. Gos. Univ. im. Lomonosova, Moscow, USSR). *Zh. Fiz. Khim.* 1972, 46(11), 2702-5 (Russ). Ir spectra of liq. O₃ prep'd. from an O glow discharge plasma and peroxide radical condensates prep'd. by bombardment of O₃ with at. H were recorded and compared with calcd. data for O₄ the agreement of most exptl. and calcd. bands showed that O₄ is formed simultaneously with O₃ during low-temp. condensation of O₂ plasma.

Wladyslaw S. Brud

Chemup

C.A. 1973, 78 N/10

O₃

1972

XI-3332

170866u Upper state rotational constants for the ($\nu_1 + \nu_2 + \nu_3$) combination band of ozone. Snider, D. E.; Shaw, J. H. (Dep. Phys., Ohio State Univ., Columbus, Ohio). *J. Mol. Spectrosc.* 1972, 44(2), 400-2 (Eng). By using a rigid rotor model, the upper (111) state rotational consts. for the ($\nu_1 + \nu_2 + \nu_3$) combination band of O₃ were detd. as $A' = 3.55557$, $B' = 0.43683$, $C' = 0.38462 \text{ cm}^{-1}$ and $\nu_0 = 2785.236 \text{ cm}^{-1}$. Good agreement between the obsd. and calcd. line positions in both the upper and lower states suggest that the centrifugal distortion consts. are similar in both states and that no strong perturbations are present. Good agreement was obtained between exptl. band intensities and those calcd. with a rigid asym. rotor model.

C. A. 1972, 77, N26.

O₃

XI-3332

1972

5 Д380. Вращательные константы верхнего состояния для комбинационной полосы ($v_1 + v_2 + v_3$) озона.

Snider D. E., Shaw J. H. Upper state rotational constants for the ($v_1 + v_2 + v_3$) combination band of ozone. «J. Mol. Spectrosc.», 1972, 44, № 2, 400—402 (англ.)

Выполнены анализ вращательной структуры комбинационной полосы ($v_1 + v_2 + v_3$) озона при 2785 см⁻¹. Спектры высокого разрешения (0,07 см⁻¹) получены в 20-м многоходовой кювете, наполненной смесью 98% O₂+2% O₃ при общем давл. ~40 мм рт. ст. Оптич. длина пути не менее 500 м. Точность определения чисел отдельных линий составляла 0,010 см⁻¹. Произведено отнесение 236 вращательных линий для значений $J \leq 26$. Вычислены вращательные константы верхнего состояния (в см⁻¹): A' = 3,55557; B' = 0,43683; C' = 0,38462; v₀ = 2785,236. Библ. 15. И. Дворников

ш.и

ф. 1973 № 5

XI - 3332

1972.

O₃

10 Б235. Вращательные константы верхнего состояния для комбинационной полосы озона ($v_1 + v_2 + v_3$).
Snider D. E. Shaw J. H. Upper state rotational constants for the ($v_1 + v_2 + v_3$) combination band of ozone.
«J. Mol. Spectrosc.», 1972, 44, № 2, 400—402 (англ.)

(v_i) . Изучен вращательный спектр поглощения озона в области около 2800 см⁻¹. Анализ методом жесткого ротора подтвердил отнесение полосы 2785,24 см⁻¹ к колебанию ($v_1 + v_2 + v_3$). Малая интенсивность полосы 2735 см⁻¹ не позволила провести вращательный анализ. Спектр регистрировался вакуумным решеточным спектрометром Эберта с репликой 220 мм × 165 мм с 75 штрихами/мм и с охлаждаемым детектором PbS. Спектр получался в шестом порядке, спектральное разрешение составляло 0,07 см⁻¹. Сделано отнесение положений 236 линий с $J \leq 26$. Некоторые линии с более высоким J .

X. 1973. N10

идентифицированы как линии P -ветви, но они выходят из откалиброванной области. Линии R -ветви с $J > 26$ и линии Q -ветви не разрешаются из-за перекрывания. Оценены вращательные константы A' , B' , C' и v_0 верхнего состояния полосы озона ($v_1 + v_2 + v_3$). Выбраны вращательные константы основного состояния, полученные на основании анализа методом жесткого ротора с малыми значениями J .

Л. С. Гуляева

O₃(v_i) Snider D.E., 73082 1972

Diss. Abstr. Int.; 1972, B32, N₇, 4439
(cont.)

Analysis of the (v₁+v₂+v₃) combination band of ozone.

20



CA, 1972, 76, NAD, 1192813

O₃

Lommel 760 | 1972

M. Spoliti, S. Nunziante
Cesaro, and B. Mariti.

geom.

и.к. сн.

бинарн. ... матр. |"

for publ. on J. Chem. Phys. "

1979

3

22 Б922. Фотолиз озона в ультрафиолетовой области. IV. Передача колебательной энергии $O_2^+ + O(^3P)$. Webster Henry, III Bair Edward J. Ozone ultraviolet photolysis. IV. $O_2^+ + O(^3P)$ vibrational energy transfer. «J. Chem. Phys.», 1972, 56, № 12, 6104—6108 (англ.)

Измерена скорость релаксации колебательного возбуждения молекул O_2^+ ($V'' \geq 14$) в основном состоянии $X^3\Sigma_g^-$ при импульсном фотолизе ($\lambda 2900 \text{ \AA}$) смесей $O_3 - Ar$. Скорость релаксации пропорциональна конц-тн. $O(^3P)$ при условии, что отношение $[O(^3P)]/[O_3]$ не очень мало и может быть характеризовано бимолек. константой скорости k_{ij} . Получаемые данные анализируют, исходя из предположения, что k_{ij} , можно записать в виде $K_{10}[1 + \beta(i-1)]\exp[-\gamma(i-j-1)]$, где i и j — квантовые числа соотв. начального и конечного состоя-

X · 1972 · 22

ний ($i > j$). β определяет зависимость от энергетич. уровня и γ -зависимость от кратности квантовых переходов. Принимая $k_{10} = 6 \cdot 10^8$ л/моль·сек, получены величины $\beta = 0,04$ и $\gamma = 0$, т. е. $k_{ij} = 6 \cdot 10^8 \cdot [1 + 0,04(i-1)]$ л/моль·сек (напр. $k_{19,j} = 1 \cdot 10^9$ для всех j). Сильное увеличение скорости релаксации с ростом энергетич. уровня объясняется, если принять во внимание многоквантовые переходы (для $v'' = 14 - 19$ скорость релаксации в ~ 100 раз больше, чем скорость релаксации для $v'' = 1$, наблюдаемая в опытах с ударными трубами. Учитывая многоквантовые переходы, полученные данные можно согласовать с данными в ударной волне и траекторными измерениями. Сообщ. III. см. РЖХим, 1972, 7Б1260.

А. Шведчиков

Wong S.F., Vorburger T.V., Woo S
1972

Phys. Rev A, 1972, Σ , N6, 2598

"Фотоэффект в O_3^- в трубе Зеемана"

$$A_{O_3} = 1.99 \pm 0.10 \text{ зб}$$